

– PHS1102 – Champs électromagnétiques

Chapitre 7 – Magnétostatique

Loi de Biot-Savart

Moment magnétique dipolaire

Théorème d'Ampère (4^e équation de Maxwell en statique)

Densité de flux magnétique dans le vide

Flux magnétique

2^e équation de Maxwell

Où sommes-nous rendus dans le trimestre ?

 \vec{E}

1. Électrostatique : les champs vectoriels \vec{D} et \vec{E}
2. Potentiel et énergie électrique
3. Matériaux diélectriques
4. Matériaux conducteurs
5. Interfaces et cartographie des champs
6. Équation de Laplace

 \vec{H}

7. Magnétostatique : les champs vectoriels \vec{H} et \vec{B}
8. Forces et couples magnétiques
9. Matériaux magnétiques

 \vec{E} et \vec{H}

10. Champs quasistatiques
11. Équations de Maxwell
12. Ondes électromagnétiques

Objectifs de la semaine

Loi de Biot-Savart

- Déterminer le champ magnétique dû à une distribution de courant quelconque.

Moment dipolaire
magnétique

- Calculer le moment dipolaire magnétique dû à une boucle de courant.

Théorème d'Ampère
(4^e éq. de Maxwell en statique)

- Déterminer le champ magnétique produit par une distribution de courant symétrique.

Densité de flux
magnétique dans le vide

- Calculer la densité de flux magnétique à partir du champ magnétique.

Flux magnétique

- Calculer le flux magnétique à partir de la densité de flux magnétique.

2^e équation de Maxwell

- Appliquer la 2^e équation de Maxwell et en expliquer la signification (champ solénoïdal).

Le magnétisme dans nos vies



Magnétite
(oxyde de fer)

Solénoïde
(composante
centrale du moteur
électrique)



Train à lévitation magnétique
(Maglev de Shangai)



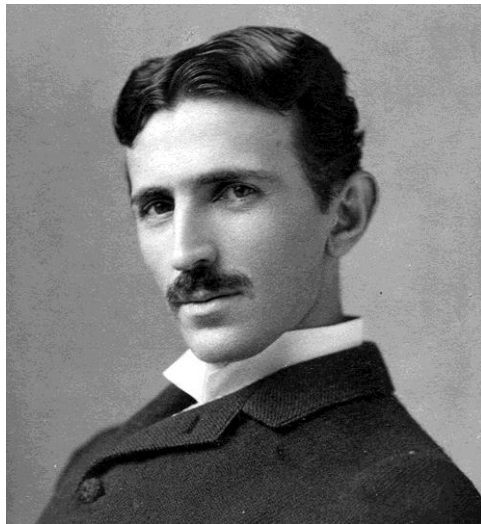
Imagerie par
résonance
magnétique
nucléaire



Valeurs du champ magnétique

On quantifie souvent le champ magnétique par la magnitude de la **densité de flux magnétique** (\vec{B}).

L'unité de la densité de flux magnétique est le **tesla (T)**.



Nikola Tesla (1856-1943)

<http://www.magnet.fsu.edu/focus/howstrong.html>

850T



60T



33T



2T



$4 \times 10^{-1} \text{ T}$



$4 \times 10^{-1} \text{ T}$



$3 \times 10^{-1} \text{ T}$



10^{-2} T



10^{-4} T



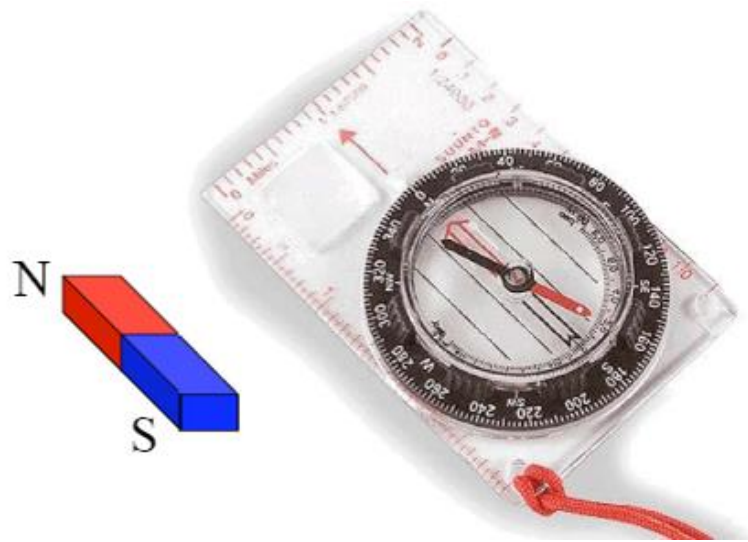
$3 \times 10^{-5} \text{ T}$



$3 \times 10^{-10} \text{ T}$

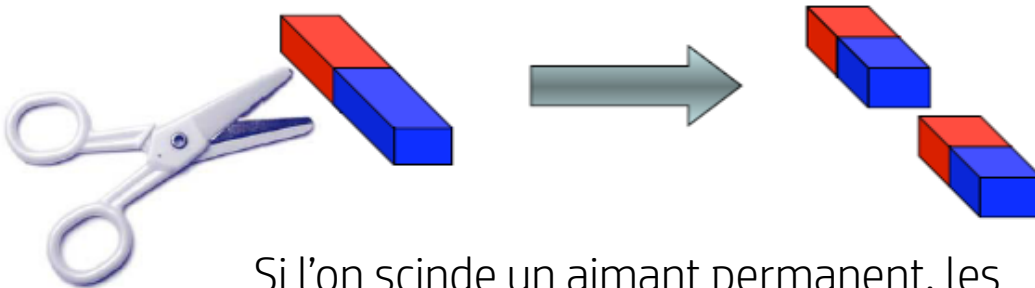


Observations expérimentales sur le magnétisme



Veine de magnétite
(orientée Nord-Sud)

Il existe deux pôles magnétiques : nord et sud. Les pôles identiques se repoussent tandis que les pôles opposés s'attirent.



Si l'on scinde un aimant permanent, les fragments auront deux pôles magnétiques.

Aucun monopôle magnétique n'a été observé à ce jour!

On peut parler de charge électrique, mais pas de charge magnétique.

Observations expérimentales sur le magnétisme

Est-il possible de créer un champ magnétique sans aimants permanents naturels ?

Avril 1820

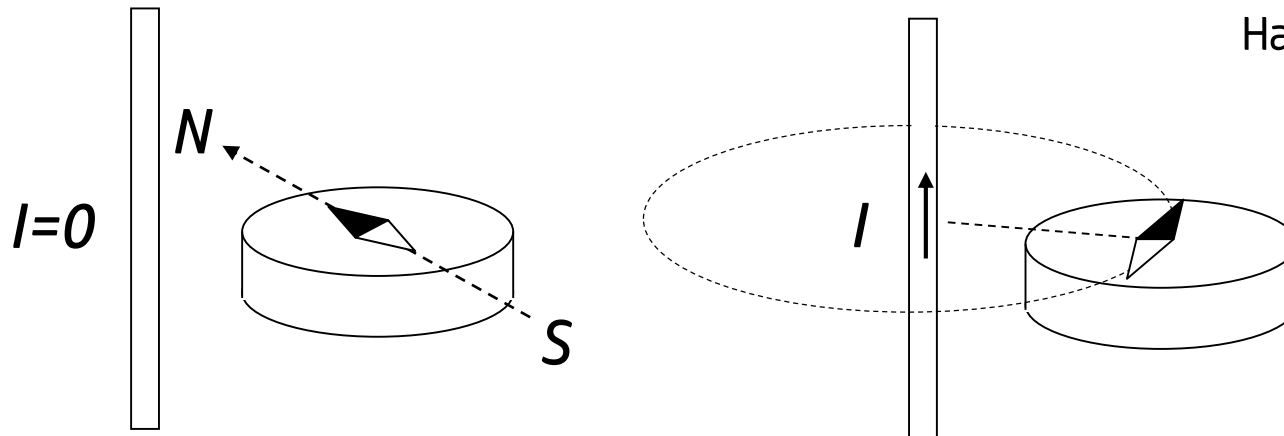
Oersted découvre par hasard pendant un de ses cours qu'un courant fait dévier l'aiguille d'une boussole posée à proximité.

Un courant électrique circulant dans un fil crée un champ magnétique « circulaire » !

L'origine du champ magnétique est le mouvement de charges électriques.



Hans Christian Oersted
(1777-1851)



Observations expérimentales sur le magnétisme

Octobre 1820

François Arago rapporte à Paris les observations d'Oersted, ce qui déclenche plusieurs expérimentations.

Jean-Baptiste Biot et Félix Savart observent que la grandeur de la **force magnétique** exercée par :

1. Un fil infini est inversement proportionnelle à la distance au fil ;
2. Un élément de courant infinitésimal est inversement proportionnelle au carré de la distance au fil.

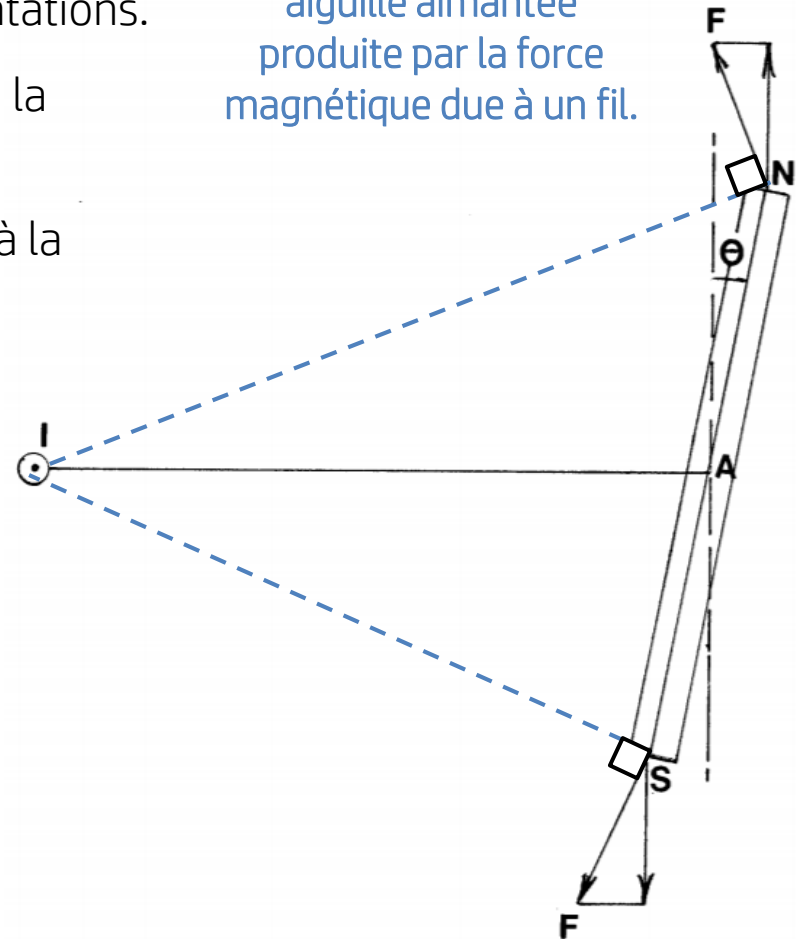


J.-B. Biot
(1774-1862)



Félix Savart
(1791-1841)

Mesure de la période d'oscillation d'une aiguille aimantée produite par la force magnétique due à un fil.



Loi de Biot-Savart

En cumulant toutes les observations expérimentales, on trouve la loi de Biot-Savart.

I : Courant à l'origine
du champ magnétique

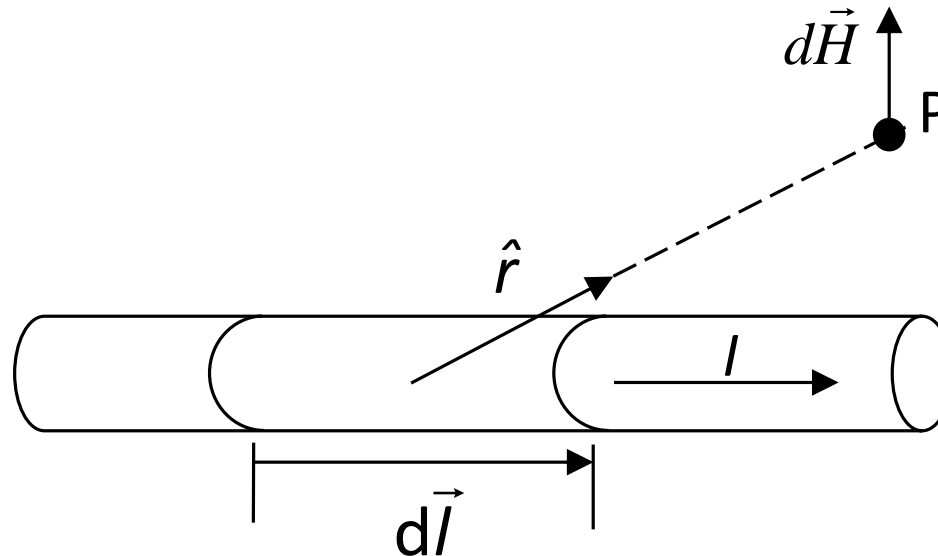
\vec{H} : intensité du champ
magnétique [A/m]

Loi de Biot-Savart
(forme infinitésimale)

$$d\vec{H} = \frac{I}{4\pi} \frac{d\vec{l} \times \hat{r}}{r^2}$$

Produit vectoriel $d\vec{l} \times \hat{r}$:
champ « circulaire »

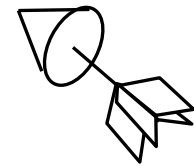
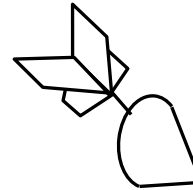
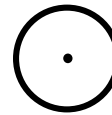
$\frac{1}{r^2}$: décroît avec l'inverse
du carré de la distance



Rappels – Notation et produit vectoriel

Vecteur entrant ou sortant du plan

Les symboles représentent la pointe (vecteur sortant) et l'empennage (vecteur entrant) d'une flèche.



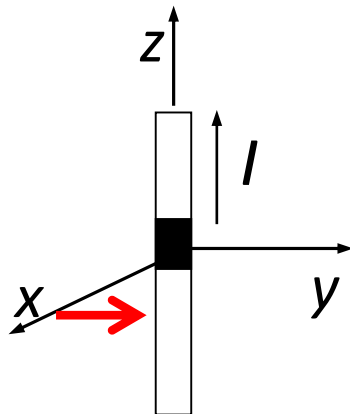
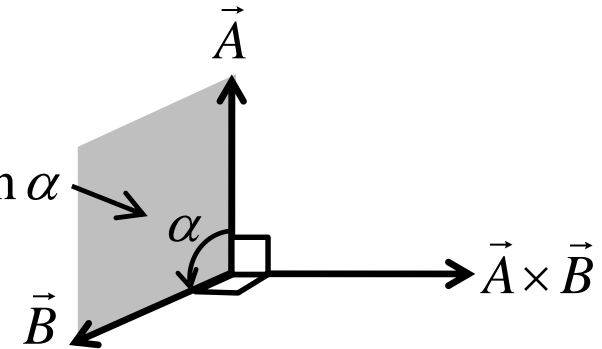
Vecteur sortant du plan

Vecteur entrant dans le plan

Produit vectoriel

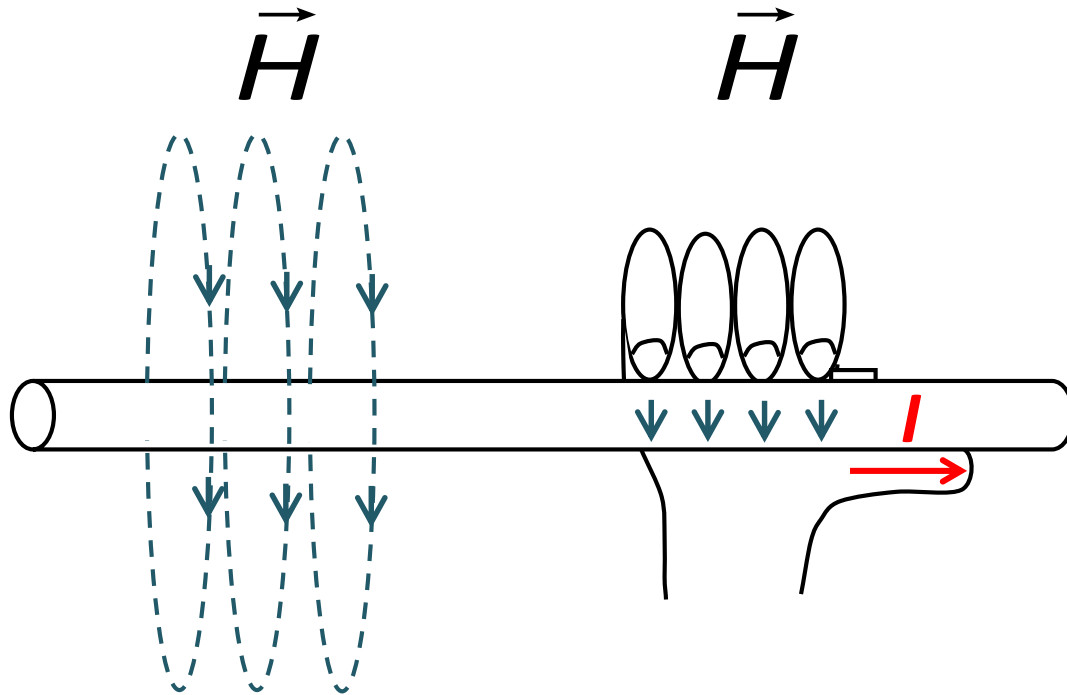
Le produit vectoriel $\vec{A} \times \vec{B}$ produit un vecteur perpendiculaire à \vec{A} et à \vec{B} .

$$|\vec{A} \times \vec{B}| = AB \sin \alpha$$

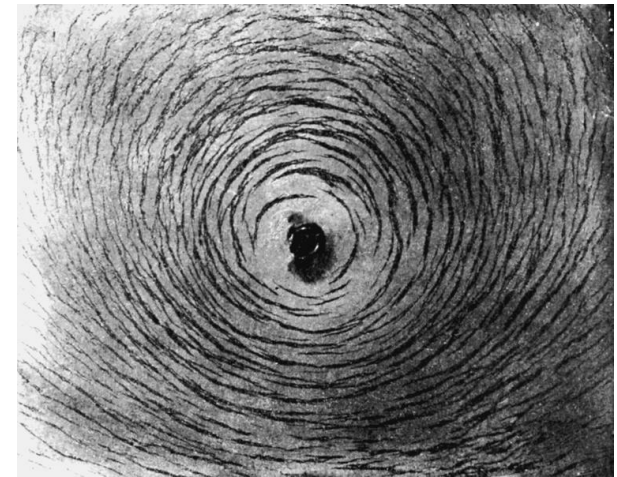


$$d\vec{l} \times \vec{r} = \begin{vmatrix} \hat{x} & \hat{y} & \hat{z} \\ 0 & 0 & dz \\ x & 0 & 0 \end{vmatrix} = -\hat{y}(-x dz) = x dz \hat{y}$$

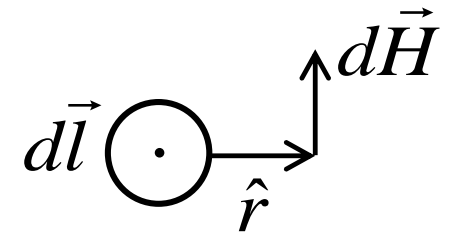
Règle de la main droite



La limaille de fer s'oriente en suivant les lignes de champ magnétique produit par le fil central.



$$d\vec{H} = \frac{I}{4\pi} \frac{d\vec{l} \times \hat{r}}{r^2}$$

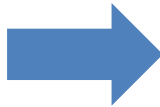


Loi de Biot-Savart

Pour obtenir le champ magnétique dû à une distribution de courants, il faut intégrer la forme infinitésimale de la loi de Biot-Savart (principe de superposition).

$$d\vec{H} = \frac{I}{4\pi} \frac{d\vec{l} \times \hat{r}}{r^2}$$

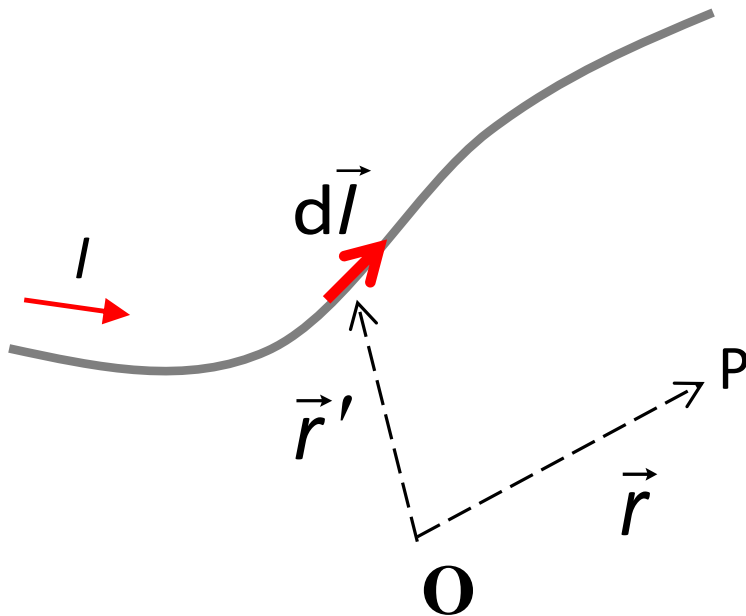
Principe de
superposition



Loi de Biot-Savart

$$\vec{H} = \int_L d\vec{H} = \int_L \frac{I}{4\pi} \frac{d\vec{l} \times (\vec{r} - \vec{r}')}{|\vec{r} - \vec{r}'|^3}$$

ATTENTION, ERREUR DANS LE POLYCOPIÉ
EQ. (7.4) à la page 7-4



\vec{r} : position où l'on veut évaluer \vec{H}

\vec{r}' : position de l'élément infinitésimal
de courant $I d\vec{l}$

Exemple 7.1 – Fil rectiligne infini

Quel est le champ magnétique produit par un fil rectiligne infini transportant un courant I ?

1. Système de coordonnées

Symétrie cylindrique du fil : **coordonnées cylindriques**.

$$\vec{H}(\vec{r}) = \int_L d\vec{H} = \int_L \frac{I}{4\pi} \frac{d\vec{l} \times (\vec{r} - \vec{r}')}{|\vec{r} - \vec{r}'|^3}$$

Le champ magnétique est perpendiculaire au fil (\hat{z}) et à $\vec{r} - \vec{r}'$.

Règle de la main droite : $d\vec{l} \times (\vec{r} - \vec{r}') \Rightarrow \vec{H} = H\hat{\phi}$

Le champ magnétique aura une composante selon $\hat{\phi}$ seulement.

Géométrie

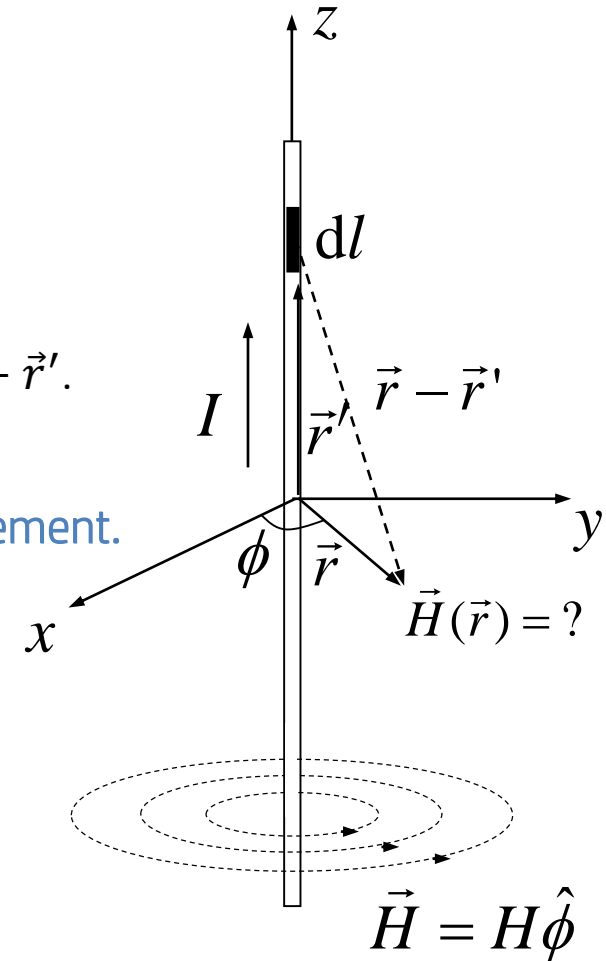
$$d\vec{l} = dz'\hat{z}$$

$$\vec{r} = \rho\hat{\rho}$$

$$\vec{r}' = z'\hat{z}$$

$$\vec{r} - \vec{r}' = \rho\hat{\rho} - z'\hat{z} \quad |\vec{r} - \vec{r}'| = \sqrt{z'^2 + \rho^2}$$

$$d\vec{l} \times (\vec{r} - \vec{r}') = \begin{vmatrix} \hat{\rho} & \hat{\phi} & \hat{z} \\ 0 & 0 & dz' \\ \rho & 0 & -z' \end{vmatrix} = \rho dz' \hat{\phi}$$



Exemple 7.1 – Fil rectiligne infini

Quel est le champ magnétique produit par un fil rectiligne infini transportant un courant I ?

2. Calcul du champ magnétique

On remplace les expressions des vecteurs dans la loi de Biot-Savart.

$$d\vec{l} \times (\vec{r} - \vec{r}') = \rho dz' \hat{\phi}$$

$$|\vec{r} - \vec{r}'| = \sqrt{z'^2 + \rho^2}$$

$$\vec{H} = \int_L \frac{I}{4\pi} \frac{d\vec{l} \times (\vec{r} - \vec{r}')}{|\vec{r} - \vec{r}'|^3}$$

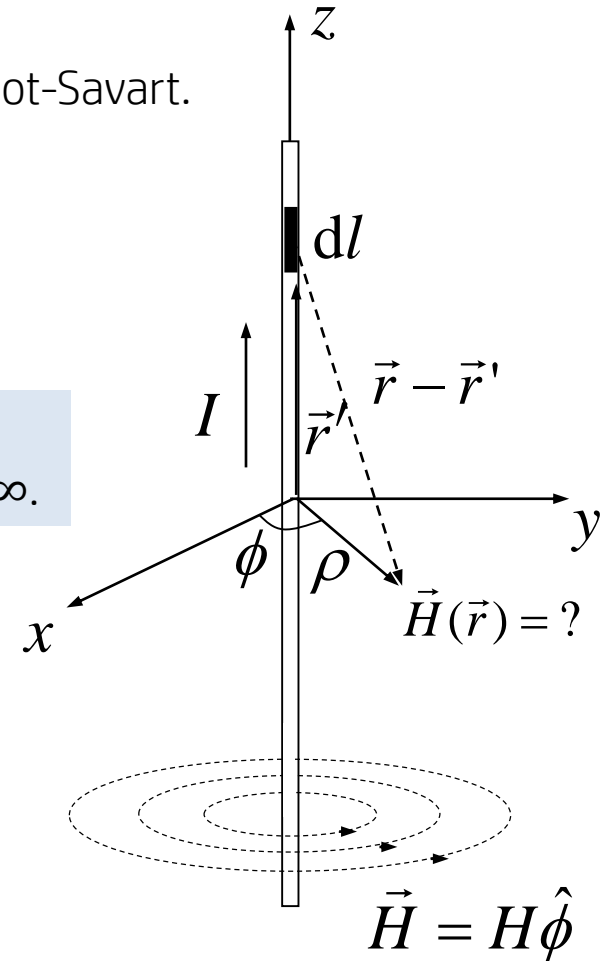
Le fil infini s'étend
de $z' = -\infty$ à $z' = \infty$.

$$\Rightarrow \vec{H} = \frac{I}{4\pi} \int_{-\infty}^{\infty} \frac{\rho dz'}{(z'^2 + \rho^2)^{3/2}} \hat{\phi}$$

$$= \frac{I\rho}{4\pi} \left[\frac{z'}{\rho^2 \sqrt{z'^2 + \rho^2}} \right]_{-\infty}^{\infty} \hat{\phi} = \frac{I\rho}{4\pi} \left(\frac{1}{\rho^2} - \frac{-1}{\rho^2} \right) \hat{\phi}$$

$$\Rightarrow \boxed{\vec{H} = \frac{I}{2\pi\rho} \hat{\phi}}$$

Les lignes de champ forment des
cercles concentriques autour du fil.
Le champ est inversement
proportionnel à la distance au fil.



Exemple 7.2 – Boucle de courant circulaire

Quel est le champ magnétique produit par une boucle de courant I circulaire de rayon a en un point situé sur son axe, à une distance z de son centre ?

1. Système de coordonnées

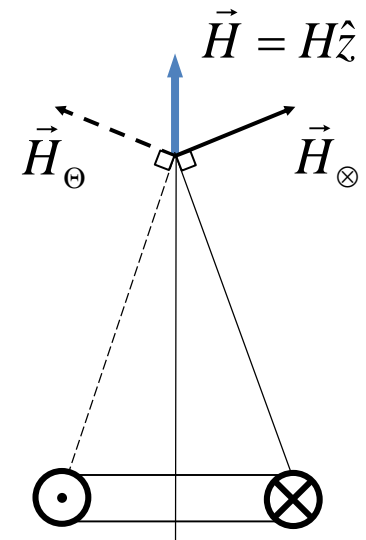
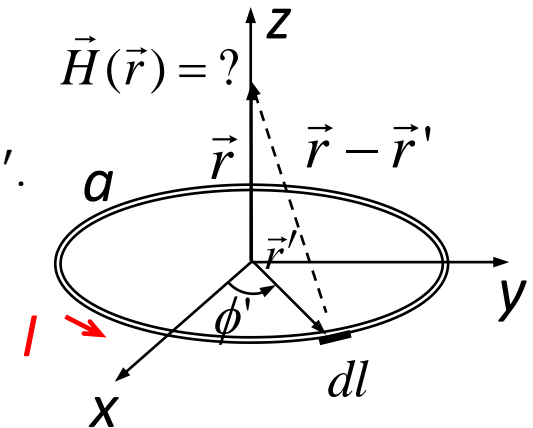
Symétrie cylindrique de la boucle : **coordonnées cylindriques**.

Le champ magnétique est perpendiculaire au fil ($\hat{\phi}$) et à $\vec{r} - \vec{r}'$.

$$\vec{H} = \int_L d\vec{H} = \int_L \frac{I}{4\pi} \frac{d\vec{l} \times (\vec{r} - \vec{r}')}{|\vec{r} - \vec{r}'|^3}$$

Pour chaque élément de courant de la boucle, il existe un autre élément qui annule la composante de \vec{H} dans le plan de la boucle.

Le champ magnétique est dirigé selon \hat{z} seulement.



Géométrie

$$d\vec{l} = a d\phi' \hat{\phi}$$

$$\vec{r} = z\hat{z}$$

$$\vec{r}' = a\hat{\rho}$$

$$\vec{r} - \vec{r}' = z\hat{z} - a\hat{\rho} \quad |\vec{r} - \vec{r}'| = \sqrt{z^2 + a^2}$$

$$d\vec{l} \times (\vec{r} - \vec{r}') = \begin{vmatrix} \hat{\rho} & \hat{\phi} & \hat{z} \\ 0 & a d\phi' & 0 \\ -a & 0 & z \end{vmatrix} = a z d\phi' \hat{\rho} + a^2 d\phi' \hat{z}$$

↘ S'annule en intégrant

Exemple 7.2 – Boucle de courant circulaire

Quel est le champ magnétique produit par une boucle de courant I circulaire de rayon a en un point situé sur son axe, à une distance z de son centre ?

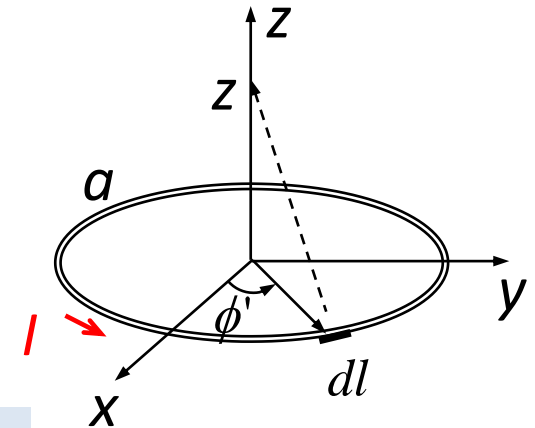
2. Calcul du champ magnétique

On remplace les expressions dans la loi de Biot-Savart.

$$d\vec{l} \times (\vec{r} - \vec{r}') = az d\phi' \hat{\rho} + a^2 d\phi' \hat{z}$$

$$|\vec{r} - \vec{r}'| = \sqrt{z^2 + a^2}$$

$$\vec{H} = \int_L \frac{I}{4\pi} \frac{d\vec{l} \times (\vec{r} - \vec{r}')}{|\vec{r} - \vec{r}'|^3}$$



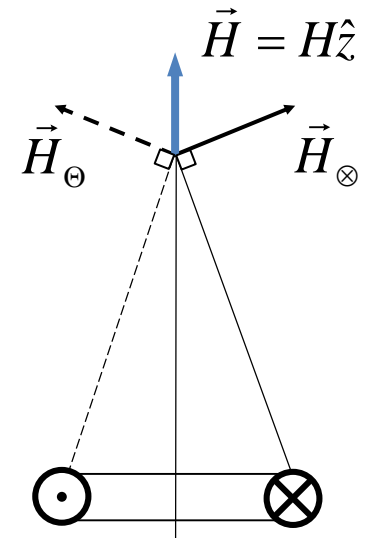
$$\vec{H} = \frac{Iaz}{4\pi(z^2 + a^2)^{3/2}} \int_0^{2\pi} d\phi' \hat{\rho} + \frac{Ia^2}{4\pi(z^2 + a^2)^{3/2}} \int_0^{2\pi} d\phi' \hat{z}$$

En posant $\hat{\rho} = \cos \phi' \hat{x} + \sin \phi' \hat{y}$, la 1^{re} intégrale s'annule.

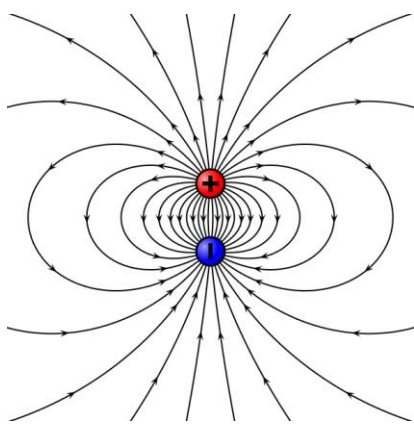
$$\vec{H} = \frac{Ia^2}{2(z^2 + a^2)^{3/2}} \hat{z}$$

Le champ décroît en $1/z^3$ ($z \gg a$).

À quoi cela vous fait-il penser ?



Dipôle électrique et boucle de courant



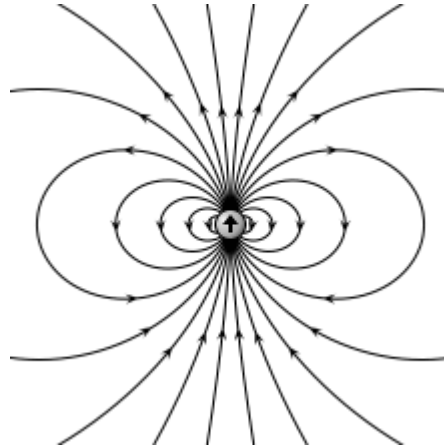
Champ électrique d'un
dipôle électrique ($r \gg d$)

$$\vec{E}(\vec{r}) = \frac{Qd}{4\pi\epsilon_0 r^3} (2\cos\theta \hat{r} + \sin\theta \hat{\theta})$$

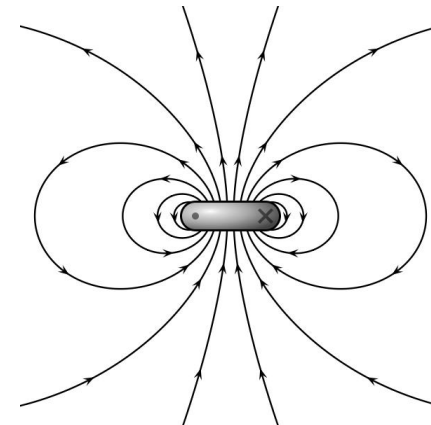
Sur l'axe du dipôle ($\theta = 0, r = z$)

$$\boxed{\vec{E} = \frac{Qd}{2\pi\epsilon_0 z^3} \hat{z}}$$

Même dépendance
en $1/z^3$!



Champ magnétique d'une
boucle de courant sur son axe



$$\vec{H} = \frac{Ia^2}{2(z^2 + a^2)^{3/2}} \hat{z}$$

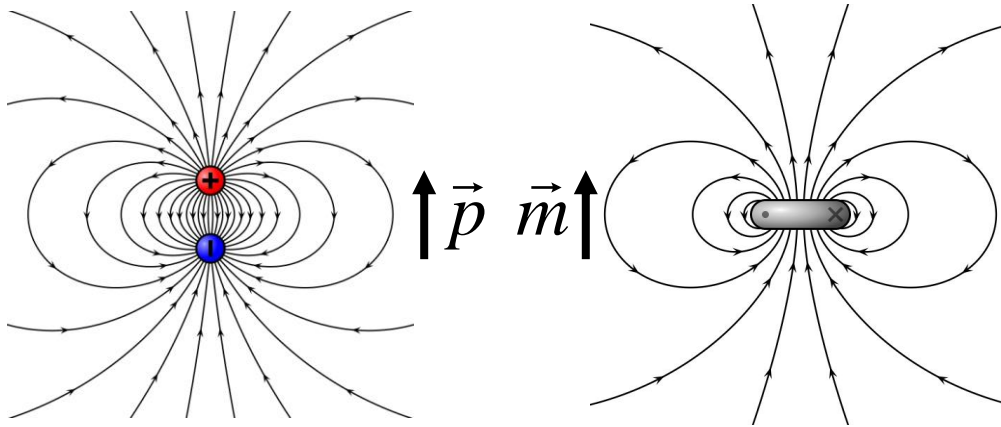
Loin de la boucle ($z \gg a$)

$$\boxed{\vec{H} = \frac{I\pi a^2}{2\pi z^3} \hat{z}}$$

Une boucle de courant est en fait un dipôle magnétique !

Moment dipolaire magnétique

En l'absence de charge magnétique, le dipôle magnétique (boucle de courant) est la source la plus élémentaire pour générer un champ magnétique.



Moment dipolaire
électrique [C·m]

$$\vec{p} = Q\vec{d}$$

$$\vec{E} = \frac{\vec{p}}{2\pi\epsilon_0 z^3}$$

Moment dipolaire
magnétique [A·m²]

$$\vec{m} = NI\vec{S}$$

$$\vec{H} = \frac{\vec{m}}{2\pi z^3}$$

N : Nombre de tours de fil
dans la boucle de courant

NI : Courant circulant dans la
boucle (chaque tour de fil
supporte un courant I)

\vec{S} : Surface de la boucle.
Orientation positive
donnée par la règle de la
main droite (doigts
s'enroulent dans le sens
du courant).

Théorème d'Ampère

La loi de Biot-Savart permet de calculer le champ magnétique \vec{H} à partir du courant.

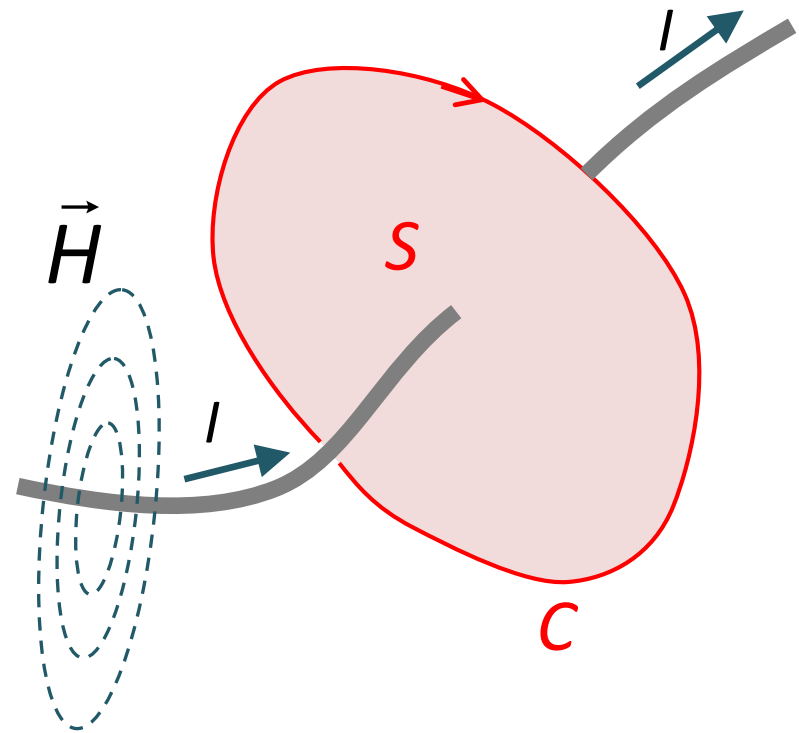
Comment calculer le courant total traversant une surface si l'on connaît seulement le champ magnétique qu'il produit ?

Théorème d'Ampère
(4^e équation de Maxwell en statique)

$$I = \int_S \vec{J} \cdot d\vec{S} = \oint_C \vec{H} \cdot d\vec{l}$$

Le courant total I traversant une surface S délimitée par un contour fermé C est la **circulation** de \vec{H} (intégrale curviligne du produit scalaire) sur ce contour.

Sens de parcours de l'intégrale de contour : règle de la main droite avec $d\vec{S}$.



D'un point de vue mathématique, le théorème d'Ampère est une application du théorème de Stokes avec $\nabla \times \vec{H} = \vec{J}$.

Quiz !

Quelle est le courant total traversant chacune de ces surfaces ?

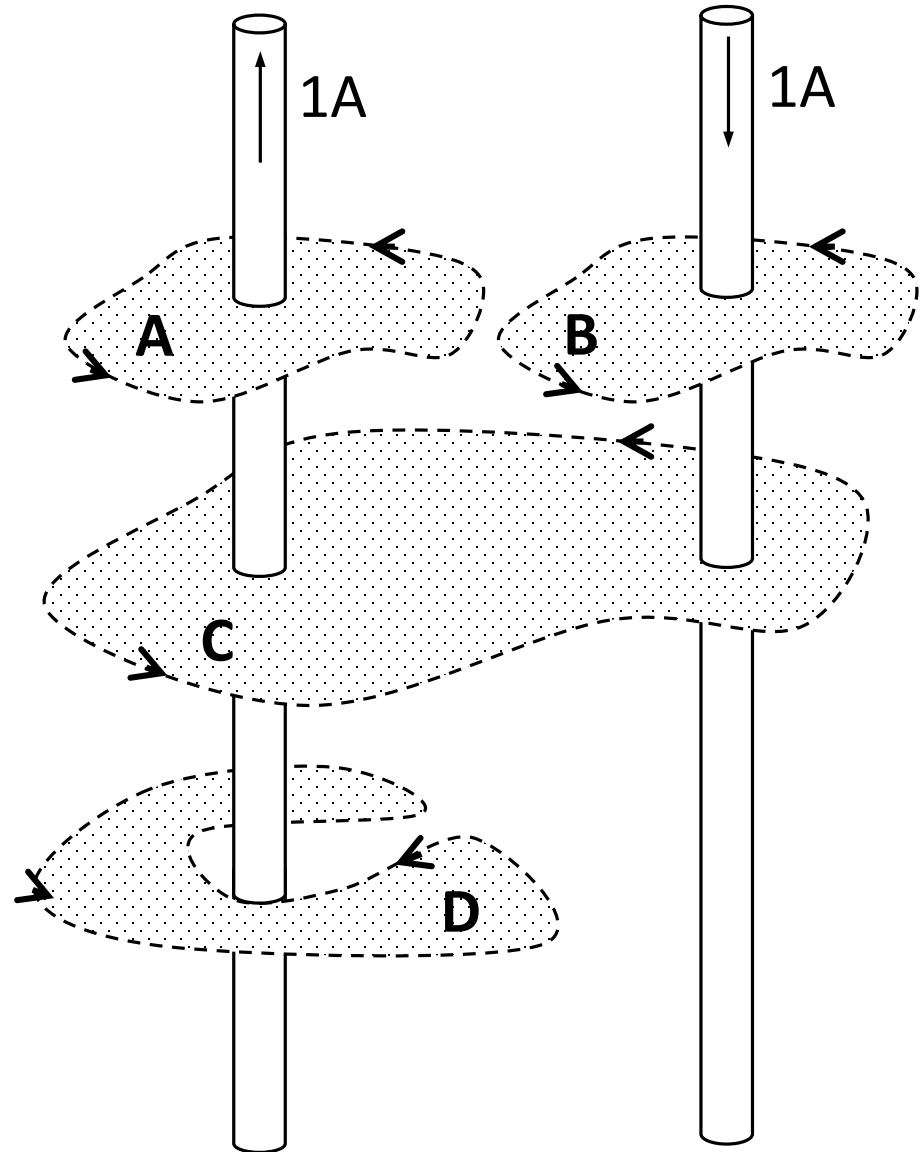
$$I = \int_S \vec{J} \cdot d\vec{S} = \oint_C \vec{H} \cdot d\vec{l}$$

A. $I = +1 \text{ A}$

B. $I = -1 \text{ A}$

C. $I = 0 \text{ A}$

D. $I = 0 \text{ A}$



Théorème d'Ampère

On peut aussi utiliser le théorème d'Ampère pour déterminer le champ magnétique dans un problème symétrique.

Si l'on peut **déduire l'orientation du champ \vec{H} à partir de la symétrie** du problème, alors, de manière analogue au théorème de Gauss, l'idée est de **trouver un parcours d'intégration C** tel que :

$$I = \int_S \vec{J} \cdot d\vec{S} = \oint_C \vec{H} \cdot d\vec{l}$$

1. Sur une partie du contour, \vec{H} est tangent au contour et son module est constant ;
2. Sur le reste du contour, \vec{H} est nul ou perpendiculaire au parcours d'intégration.

$$\vec{H} \cdot d\vec{l} = \pm H dl$$

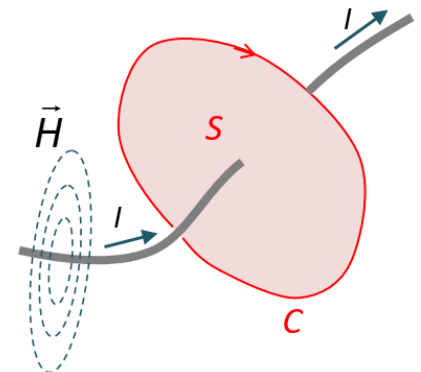
$$\vec{H} \cdot d\vec{l} = 0$$

Sous ces conditions, le **champ magnétique** se calcule ainsi :

$$\oint_C \vec{H} \cdot d\vec{l} = HL \quad \Rightarrow \quad \boxed{H = \frac{I}{L}}$$

I : courant qui traverse la surface S délimitée par C .

L : longueur du chemin d'intégration sur laquelle $\vec{H} \cdot d\vec{l} \neq 0$.

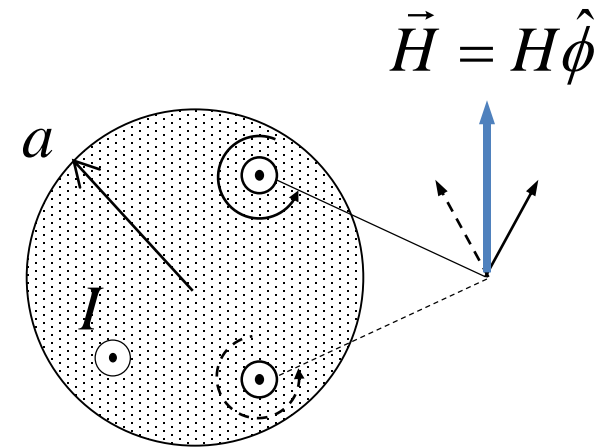


Exemple 7.4 – Champ magnétique d'un conducteur cylindrique

Quel est le champ magnétique à l'intérieur et à l'extérieur d'un conducteur cylindrique de rayon a traversé par un courant I ?

Hypothèse : le courant I est distribué uniformément sur la toute section du conducteur.

$$\vec{J} = \frac{I}{\pi a^2} \hat{z}$$



On pourrait utiliser la loi de Biot-Savart en intégrant sur toute la section du fil.

Ici, il est plus rapide d'utiliser le théorème d'Ampère, car la symétrie du problème permet de déduire que le champ est orienté selon $\hat{\phi}$ et qu'il dépend seulement de la distance ρ .

Choix du parcours d'intégration

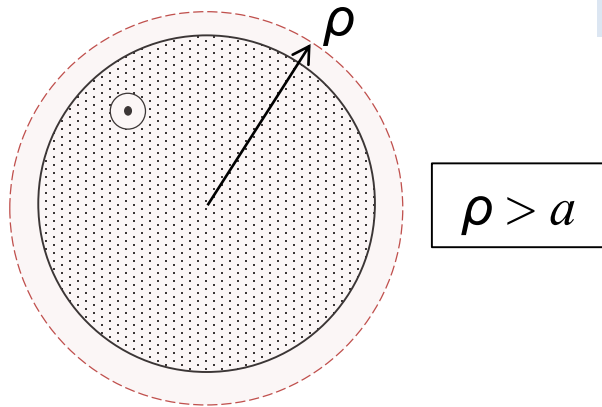
En choisissant un contour circulaire de rayon ρ , centré sur le conducteur, H est constant sur le contour (ρ est constant) et tangent au contour.

$$H = \frac{I(\rho)}{L} = \frac{1}{2\pi\rho} \int_s \vec{J} \cdot d\vec{S}$$

Exemple 7.4 – Champ magnétique d'un conducteur cylindrique

Champ à l'extérieur du fil

$$\vec{J} = \frac{I}{\pi a^2} \hat{z} \quad \vec{H} = H \hat{\phi} \quad H = \frac{1}{2\pi\rho} \int_S \vec{J} \cdot d\vec{S}$$



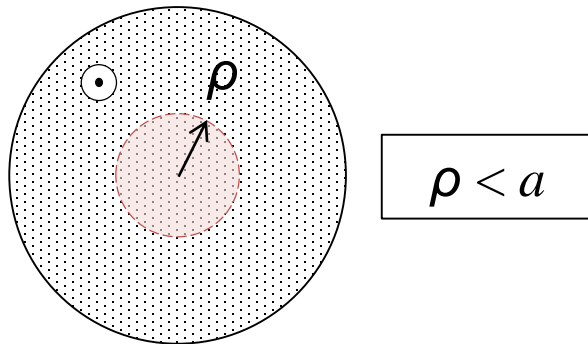
$$\vec{H} = \left(\frac{1}{2\pi\rho} \int_S \vec{J} \cdot d\vec{S} \right) \hat{\phi} = \frac{1}{2\pi\rho} \frac{I}{\pi a^2} \int_S dS \hat{\phi} = \frac{1}{2\pi\rho} \frac{I}{\pi a^2} \pi a^2 \hat{\phi}$$



$$\vec{H} = \frac{I}{2\pi\rho} \hat{\phi}$$

Le champ est inversement proportionnel à la distance, tel qu'observé par Biot et Savart!

Champ à l'intérieur du fil



$$\vec{H} = \left(\frac{1}{2\pi\rho} \int_S \vec{J} \cdot d\vec{S} \right) \hat{\phi} = \frac{1}{2\pi\rho} \frac{I}{\pi a^2} \pi \rho^2 \hat{\phi}$$

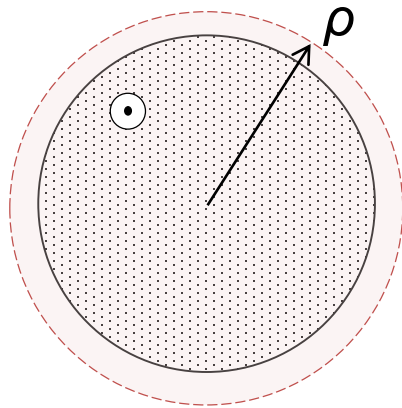


$$\vec{H} = \frac{I\rho}{2\pi a^2} \hat{\phi}$$

Le champ est proportionnel à la distance.

Exemple 7.4 – Champ magnétique d'un conducteur cylindrique

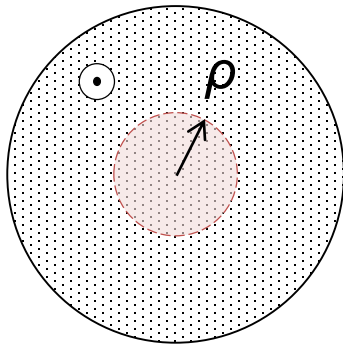
Champ à l'extérieur du fil



$$\rho > a$$

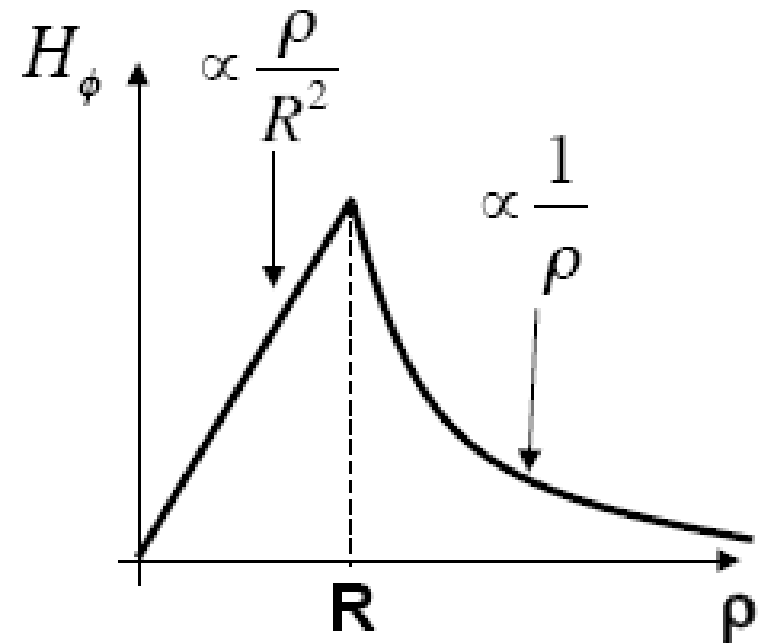
$$\vec{H} = \frac{I}{2\pi\rho} \hat{\phi}$$

Champ à l'intérieur du fil



$$\rho < a$$

$$\vec{H} = \frac{I\rho}{2\pi a^2} \hat{\phi}$$

Le comportement du champ en fonction de ρ diffère à l'intérieur et à l'extérieur.

Le champ est maximal à la surface du conducteur.

Exemple – Champ magnétique d'un câble coaxial

Symétrie

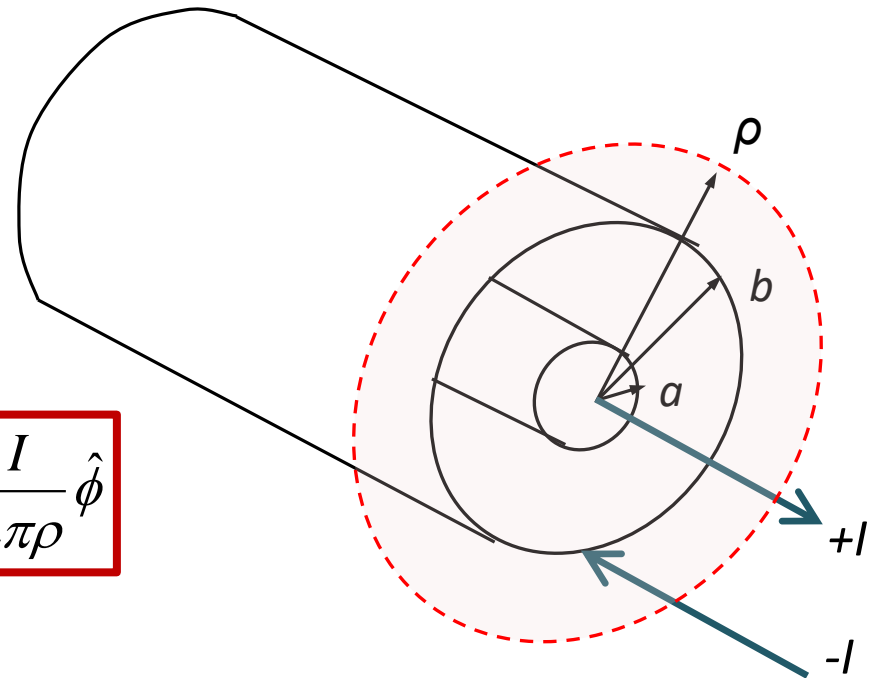
Comme dans l'exemple 7.4, la symétrie cylindrique implique que $\vec{H} = H\hat{\phi}$ et que \vec{H} ne dépend que de ρ .

Entre les deux conducteurs ($a < \rho < b$)

$$+I = \oint_C \vec{H} \cdot d\vec{l} = 2\pi\rho H \quad \Rightarrow \quad \boxed{\vec{H} = \frac{I}{2\pi\rho} \hat{\phi}}$$

À l'extérieur du fil ($\rho > b$)

$$+I - I = \oint_C \vec{H} \cdot d\vec{l} = 2\pi\rho H \quad \Rightarrow \quad \boxed{\vec{H} = \vec{0}}$$

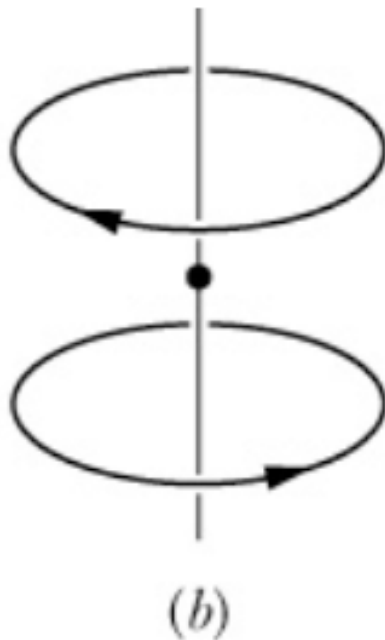
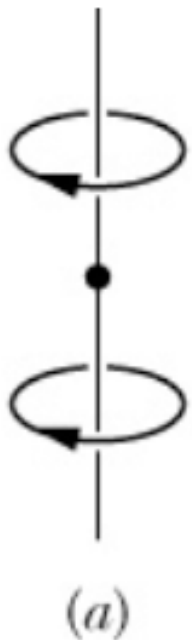


Blindage électromagnétique

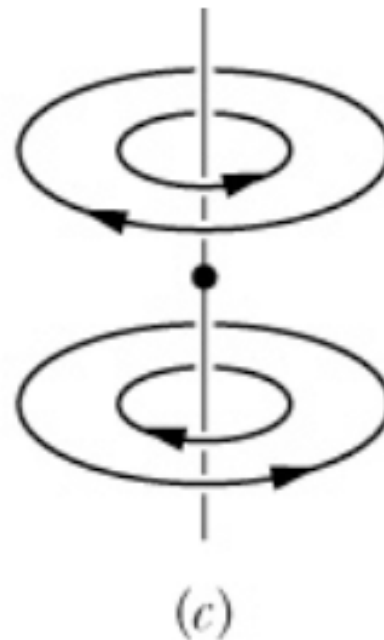
Le champ magnétique produit par le courant circulant dans le câble coaxial est nul à l'extérieur du câble. Le champ électrique est également nul à l'extérieur du câble, comme nous l'avons vu dans la 1^{re} partie du trimestre.

Quiz !

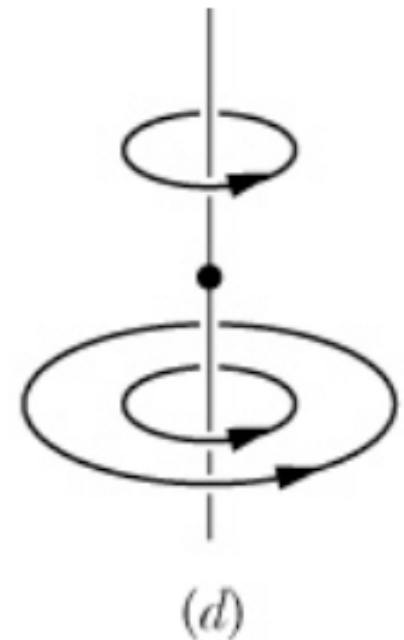
Classez les situations suivantes en ordre croissant de magnitude du champ magnétique au point central (en noir). Chaque boucle est parcourue par le même courant I .



Champ nul



Champ nul

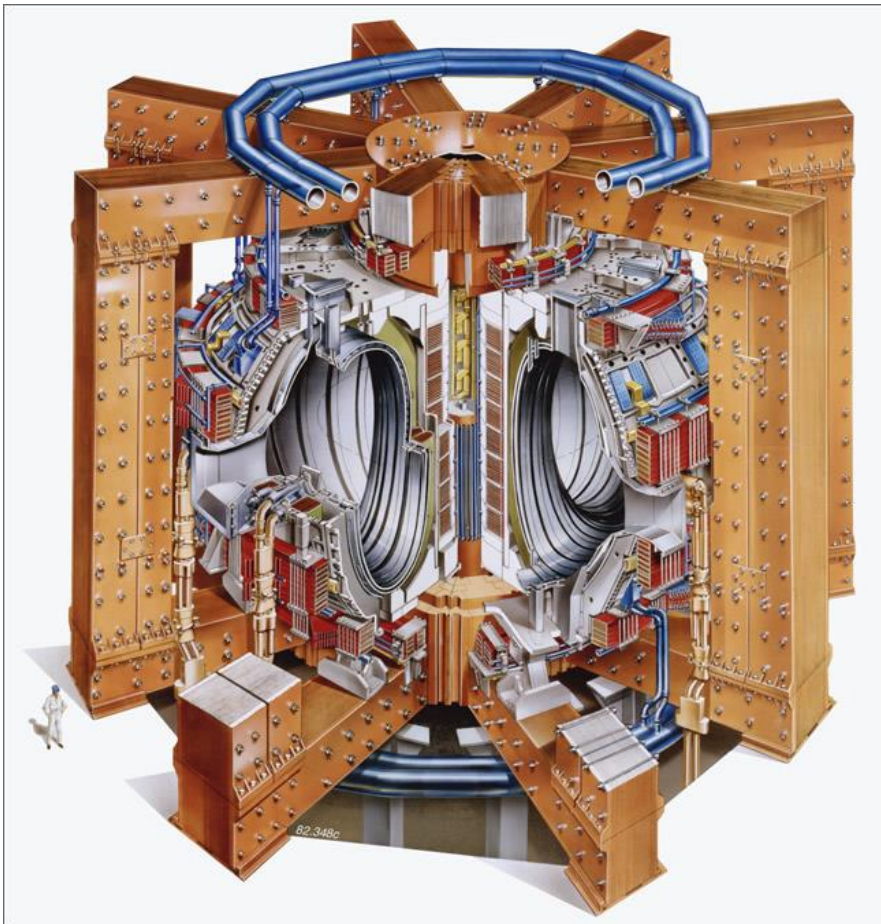


$$b = c < a < d$$

Bobines toroïdales

Réacteur à fusion nucléaire

Plasma contenu par le champ magnétique d'une bobine toroïdale



Inductances et transformateurs pour signaux radiofréquences basés sur des bobines toroïdales



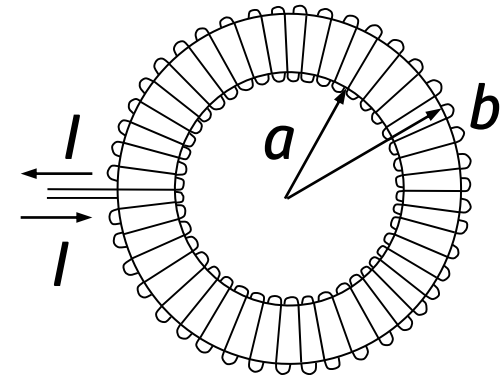
Les bobines (solénoïdes) permettent de confiner et de contrôler le champ magnétique.

Exemple 7.5 – Champ magnétique dans une bobine toroïdale

Quel est le champ magnétique à l'intérieur et à l'extérieur d'une bobine toroïdale de rayons interne a et externe b comportant N spires parcourues par un courant I ?

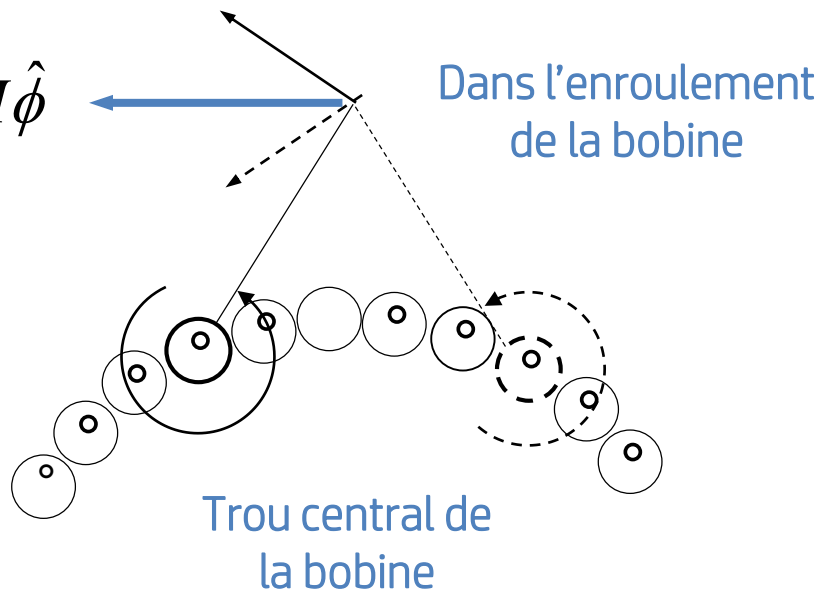
Symétrie

Comme dans l'exemple 7.4, la symétrie cylindrique implique que $\vec{H} = H\hat{\phi}$ et que \vec{H} ne dépend que de ρ .



N spires (tours de fil)

$$\vec{H} = H\hat{\phi}$$

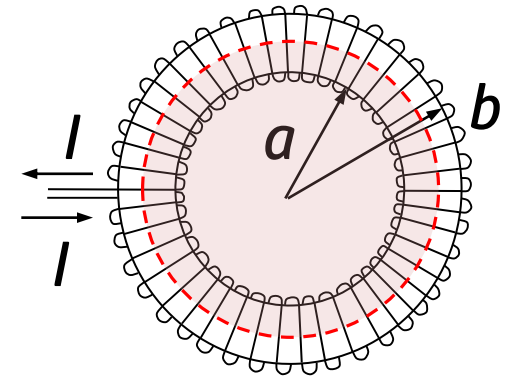


La symétrie permet d'appliquer le théorème d'Ampère. Quel parcours d'intégration choisir ?

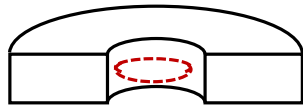
Exemple 7.5 – Champ magnétique dans une bobine toroidale

Parcours d'intégration : cercle de rayon ρ dans le plan de la bobine et centré sur la bobine

$$I = \int_S \vec{J} \cdot d\vec{S} = \oint_C \vec{H} \cdot d\vec{l}$$



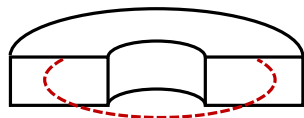
Dans le théorème d'Ampère, I représente le courant total traversant la surface, qui vaut ici NI pour $a < \rho < b$ et 0 sinon. N spires (tours de fil)



$\rho < a$

$\oint \vec{H} \cdot d\vec{l} = H 2\pi\rho = 0$

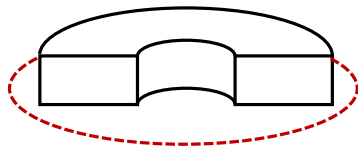
$$\vec{H} = \vec{0}$$



$a < \rho < b$

$\oint \vec{H} \cdot d\vec{l} = H 2\pi\rho = NI$

$$\vec{H} = \frac{NI}{2\pi\rho} \hat{\phi}$$



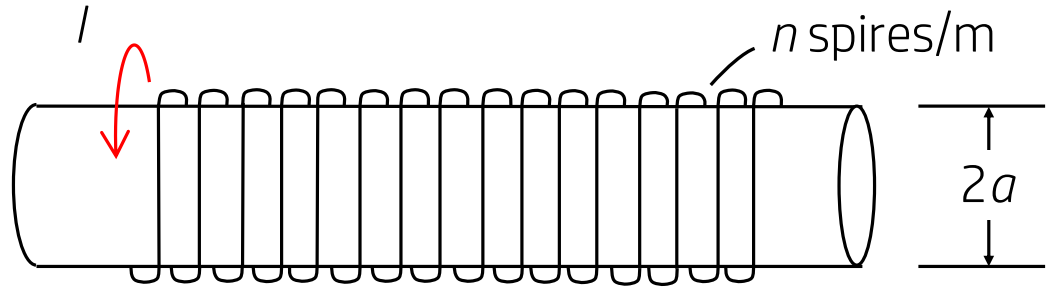
$b < \rho$

$\oint \vec{H} \cdot d\vec{l} = H 2\pi\rho = NI - NI = 0$

$$\vec{H} = \vec{0}$$

Exemple 7.6 – Champ magnétique dans un solénoïde

Quel est le champ magnétique dans un solénoïde ayant n spires par mètre de rayon a parcourues par un courant I ?



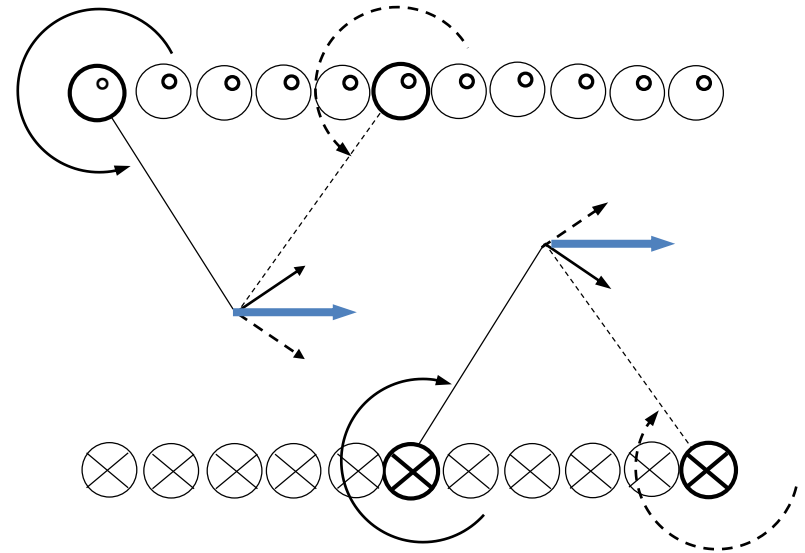
Hypothèse : le solénoïde est infiniment long
(longueur très grande par rapport aux autres dimensions)

1. Symétrie

Le champ magnétique à l'intérieur et à l'extérieur du solénoïde est parallèle à l'axe du solénoïde (\hat{z}).

$$\vec{H} = H_z \hat{z}$$

Coordonnées cylindriques



Exemple 7.6 – Champ magnétique dans un solénoïde

2. Calcul du champ magnétique

La symétrie du problème permet d'utiliser un contour rectangulaire dont les côtés sont parallèles à \hat{z} et à $\hat{\rho}$.

$$\vec{H} = H_z \hat{z}$$

Côtés (2) et (4) : champ perpendiculaire au contour

$$\vec{H} \cdot d\vec{l} = 0$$

$$I = \oint_C \vec{H} \cdot d\vec{l}$$

Côtés (1) et (3) : champ constant et parallèle au contour

$$\vec{H} \cdot d\vec{l} = \pm H_z dl$$

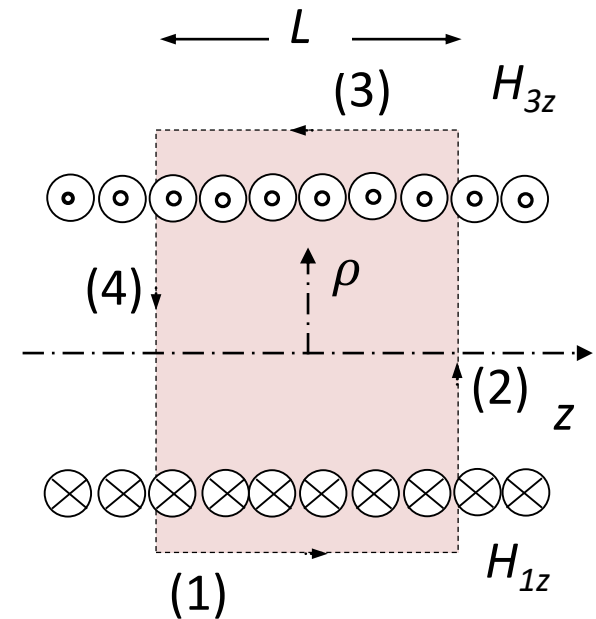
Champ à l'extérieur du solénoïde

Le courant total traversant la surface est nul.

$$0 = \int_{C_1} \vec{H} \cdot d\vec{l} + \int_{C_2} \vec{H} \cdot d\vec{l} + \int_{C_3} \vec{H} \cdot d\vec{l} + \int_{C_4} \vec{H} \cdot d\vec{l}$$

$$\Rightarrow 0 = H_{1z}L + 0 - H_{3z}L + 0 \Rightarrow H_{1z} = H_{3z}$$

Quelle méthode utiliser :
loi de Biot-Savart ou
théorème d'Ampère ?



Le champ est uniforme à l'extérieur du solénoïde !

Exemple 7.6 – Champ magnétique dans un solénoïde

Champ à l'extérieur du solénoïde

Champ solénoïdal : tout le flux magnétique à l'intérieur doit retourner par l'extérieur pour que les lignes se referment sur elles-mêmes. Ce flux magnétique ne peut pas être infini, car cela impliquerait un champ magnétique infini dans le solénoïde. Un flux fini qui se répartit sur une surface extérieure infinie implique que **la densité de flux est nulle à l'extérieur**.

$$H_{e,z} = 0$$

Champ à l'intérieur du solénoïde

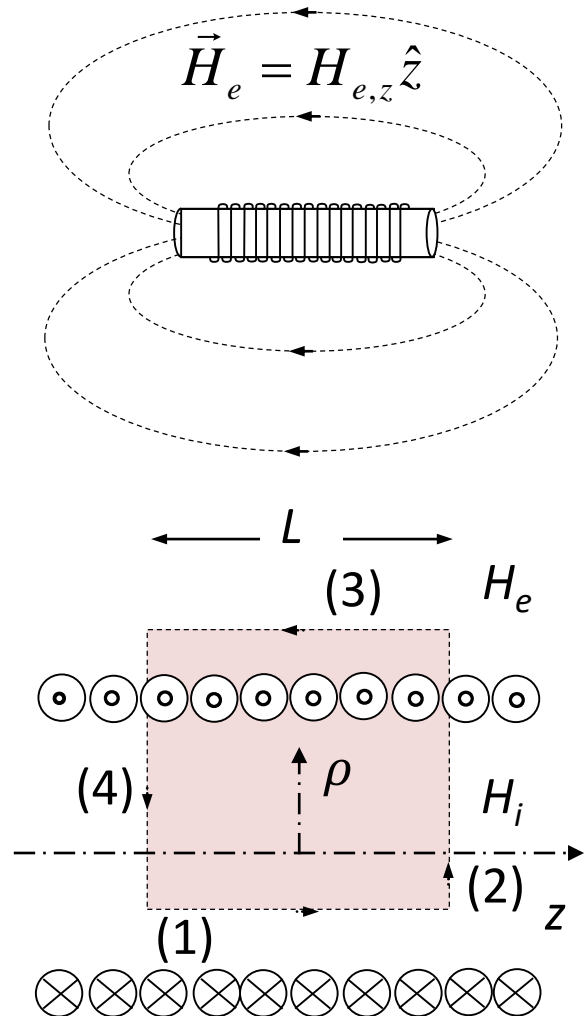
Le courant traversant la surface n'est plus nul.

Il y a nL spires, chacune traversée par un courant I .

$$nLI = \int_{C_1} \vec{H} \cdot d\vec{l} + \int_{C_2} \vec{H} \cdot d\vec{l} + \int_{C_3} \vec{H} \cdot d\vec{l} + \int_{C_4} \vec{H} \cdot d\vec{l}$$

$$nLI = H_{i,z}L + 0 + 0 + 0 \quad \Rightarrow \quad H_{i,z} = nI$$

Le champ est uniforme à l'intérieur du solénoïde !



Densité de flux magnétique \vec{B}

Électrostatique (champs \vec{E} et \vec{D})

Densité de flux électrique \vec{D} : charges libres seulement

Champ électrique \vec{E} : charges libres et liées

Le champ électrique \vec{E} permet de décrire la réponse électrique d'un matériau.

Dans le vide	$\vec{E} = \frac{\vec{D}}{\epsilon_0}$	Diélectrique linéaire	$\vec{E} = \frac{\vec{D} - \vec{P}}{\epsilon_0} = \frac{\vec{D}}{\epsilon_r \epsilon_0}$
--------------	--	-----------------------	--

Magnétostatique (champs \vec{H} et \vec{B})

Champ magnétique \vec{H} : courants libres seulement (charges libres)

Densité de flux magnétique \vec{B} : courants libres et liés (charges libres et liées)

La densité de flux \vec{B} permet de décrire la réponse magnétique d'un matériau (chapitre 9).

Dans le vide

$\vec{B} = \mu_0 \vec{H}$

 en tesla [1 T]

Perméabilité du vide

$\mu_0 = 4\pi \times 10^{-7} \text{ T} \cdot \text{m/A ou H/m}$

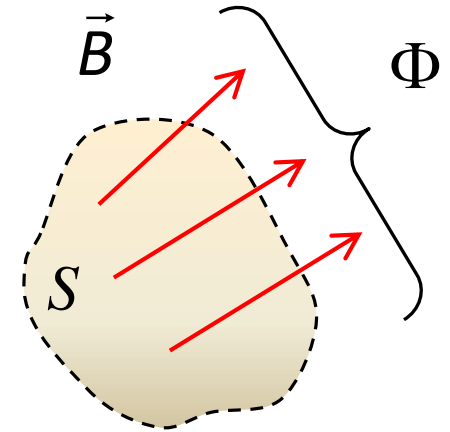
Flux magnétique et champ solénoïdal (2^e équation de Maxwell)

Flux magnétique

Le flux magnétique Φ traversant une surface S est l'intégrale de la densité de flux magnétique \vec{B} sur cette surface.

$$\Phi = \int_S \vec{B} \cdot d\vec{S}$$

en weber [$1 \text{ Wb} = 1 \text{ T} \cdot \text{m}^2$]



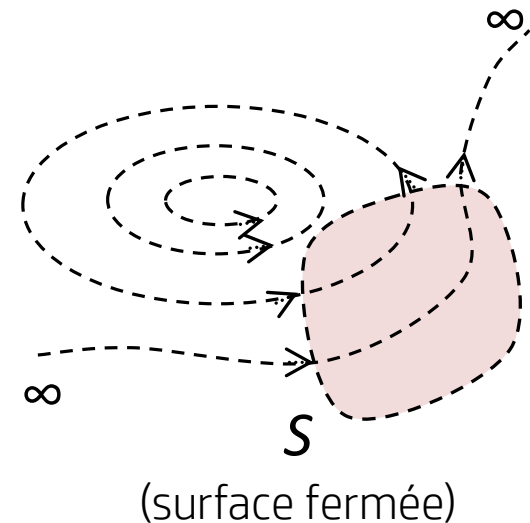
Champ solénoïdal (2^e équation de Maxwell)

L'absence de charge magnétique a pour conséquence que **les lignes de flux magnétique se referment toujours sur elles-mêmes ou à l'infini** (par opposition aux lignes de flux électriques qui peuvent débuter et terminer sur des charges libres). On dit que le champ est **solénoïdal**.

2^e équation de Maxwell

Toutes les lignes de flux magnétique qui entrent dans une surface fermée en ressortent.

$$\oint_S \vec{B} \cdot d\vec{S} = 0$$



Équations de Maxwell en statique

Avec les notions vues jusqu'à présent dans le cours, on peut énoncer les quatre équations de Maxwell en statique (champs qui ne varient pas dans le temps).

I Théorème de Gauss

$$\oint_S \vec{D} \cdot d\vec{S} = Q$$

Théorème de la
divergence

$$\nabla \cdot \vec{D} = \rho_v$$

II Champ magnétique solénoïdal

$$\oint_S \vec{B} \cdot d\vec{S} = 0$$

Théorème de la
divergence

$$\nabla \cdot \vec{B} = 0$$

III Champ électrostatique conservatif

$$\oint_C \vec{E} \cdot d\vec{l} = 0$$

Théorème de
Stokes

$$\nabla \times \vec{E} = \vec{0}$$

IV Théorème d'Ampère

$$\oint_C \vec{H} \cdot d\vec{l} = \int_S \vec{J} \cdot d\vec{S}$$

Théorème de
Stokes

$$\nabla \times \vec{H} = \vec{J}$$

Nous verrons à la semaine 11 comment adapter ces équations pour des champs qui varient dans le temps.